

# 金属壁設置による単色化 XPS の帶電中和<sup>†</sup>

尾山貴司・西澤真士・照喜名伸泰・谷 広次・山本 宏

(株)村田製作所技術開発本部分析センタ 〒520-2393 滋賀県野洲郡野洲町大篠原 2288

(1999年2月27日受付; 1999年6月11日掲載決定)

## Charge Neutralization on Monochromatized X-ray Photoelectron Spectroscopy Analysis Using Metal Walls Mounting Method

Takashi OYAMA, Shinji NISHIZAWA, Nobuyasu TERUKINA, Hiroji TANI and Hiroshi YAMAMOTO

Murata Manufacturing Co., Ltd., Research & Development Division, Analysis Center  
2288 Oshinohara, Yasu-cho, Yasu-gun, Shiga 520-2393

(Received February 27, 1999; Accepted June 11, 1999)

A new charge neutralization method for monochromatized X-ray photoelectron spectroscopy was proposed. The point of this method is to mount metal walls around the sample. As X-ray photons irradiate the walls, the electrons which neutralize the surface charge of the sample are emitted. With the metal walls of the high secondary electron emissive materials, the peak shift of the Al2p XPS spectrum for sapphire was smaller than 10 eV; furthermore the differential charging of roughed sapphire surfaces was eliminated. This method can be widely used without complicated adjustment, and is more useful and effective than conventional methods.

## 1. 緒 言

X線光電子分光法(XPS: X-ray Photoelectron Spectroscopy)は、固体表面の組成、化学状態あるいは電子状態を分析できることから、材料分野において幅広く利用されている。固体表面の化学状態あるいは電子状態の分析においては、エネルギー分解能が高い光電子スペクトルの測定が望ましく、このような場合、湾曲型分光結晶により単色化されたX線を用いる単色化XPSが有効である。単色化XPSは、エネルギー分解能が高い光電子スペクトルが得られるほか、X線サテライトピークが生じない、バックグラウンドが低減されるなどの特徴を有する<sup>1</sup>。

しかし、単色化XPSによる絶縁性試料の測定では、多量の光電子放出により試料表面で正の帯電が生じ、そのため光電子スペクトルが高束縛エネルギー側にシフトする、光電子スペクトルのピーク幅が広がる、あるいはピーク形状が崩れるなど、試料本来の電子状態を反映し

た光電子スペクトルを得ることが困難となる<sup>2</sup>。このため単色化XPSの測定では、試料表面の帶電中和が必要不可欠となる。

単色化XPS測定時の帶電中和法として、最もよく利用されているのは、低速電子銃(flood gun)による電子シャワー照射<sup>3</sup>であるが、最適な低速電子銃の作動条件は試料の材質、形状、大きさなどによって異なるため、条件制御を必要とする。このため測定者の経験に頼るところが多く、簡便な方法であるとはいえない。また低速電子銃による電子シャワー照射以外にも、メッシュスクリーン法<sup>4</sup>、不活性ガス導入法<sup>5</sup>、試料マスキング法<sup>6</sup>などが提案されている。しかし、前者2つの方法は、単独では帶電の中和効果が十分でなく、低速電子銃と併用する必要がある、後者は前処理として数mmφの開口部を残して試料に導電性コーティングを行う必要があるなど、いずれの方法も操作が簡単であるとはいえない。

我々は、簡便かつ十分な効果が得られる帶電中和法を確立することを目的として、試料近傍に金属壁を設置する方法を考案した。これは、単色化X線照射により金属壁から電子を発生させ、正に帶電した試料表面に供給する方法である<sup>7</sup>。

<sup>†</sup> 第18回表面科学講演大会(1998年12月1日～12月3日)  
にて発表

E-mail: oyama@murata.co.jp

本研究では、サファイア基板を用いて帶電の中和効果が大きい金属壁材、設置方法を検討し、金属壁設置法の有効性の確認を行った。また表面が荒れた試料の単色化XPS測定において顕著となる不均一帶電(differential charging)<sup>8, 9)</sup>の除去効果についても考察した。

## 2. 実験

試料として、鏡面研磨されたサファイア基板を用意した。サファイア基板を2mm×2mmに切り出し、アセトンにて超音波洗浄を行った後、市販の両面テープを用いて、ステンレス製の試料ホルダーの中央に固定した。

金属壁材として、10mm×5mmに切り出したAl, Cu, Ag, Auの金属板を用意した。試料ホルダーへの金属壁の設置はネジ止めにて行い、Fig. 1に示すように2枚の金属壁が平行になるように設置した。2枚の金属壁の設置角度θは、サファイア面に対し0~90°の角度とし、設置間隔dは、2~8mmとした。比較のためサファイア基板のみを固定し、金属壁を設置しない試料ホルダーを用意した。金属壁を設置した試料ホルダーは、Fig. 2に示すジオメトリとなるようにXPS装置内に導入した。

XPS装置は、ULVAC-PHI社製ESCA-5400 MCを用いた。エネルギー分析器のキャリブレーションは、Cu2p 3/2, CuLMM, Cu3pの束縛エネルギー値(それぞれ932.7, 334.9, 75.1 eV)により行った。単色化X線源には、AlK $\alpha$ 線(1486.7 eV, 14 kV 300 W)を用いた。蛍光板で確認された単色化X線の照射面積は、約3mm $\phi$ であった。インプットレンズの分析面積を0.6 mm $\phi$ 、光電子取り出し角を60°とし、パスエネルギー17.90 eV、ステップ幅0.1 eVで、Al2pピーク付近のナロースペクトルを測定した。なお、試料表面の帶電の大きさは、単色化X線の照射時間に依存することから、約30分間連続的に単色化X線をサファイア基板に照射し、帶電を安定化させた後にスペクトルを測定した。測定時の装置内の圧力は、3~5×10<sup>-7</sup> Paであった。

サファイア基板表面における帶電中和の効果は、Al2pピークのシフト量および半値幅を指標として評価した。シフト量は、得られたAl2pピークについてガウス/ローレンツ対称関数によるカーブフィッティングを行った結果から求めた。シフト量は、カーブフィッティングにより求めた束縛エネルギー値と文献値(74.4 eV)<sup>10)</sup>との差とした。半値幅は、カーブフィッティングされたガウス/ローレンツ対称関数の半値幅とした。

## 3. 結果と考察

### 3.1 壁材による中和効果の違い

Al, Cu, Ag, Au材の金属壁を設置した場合( $\theta=40^\circ$ ,

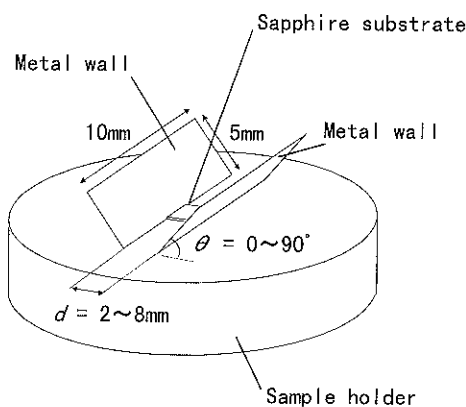


Fig. 1 Schematic diagram of a sample holder where sapphire and two metal walls are mounted.

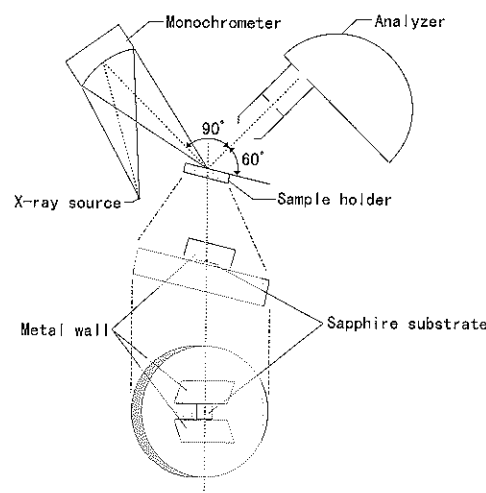


Fig. 2 Schematic diagram of a system of X-ray source, monochromator, analyzer, a sapphire substrate and metal walls.

$d=2\text{ mm}$ )、金属壁を設置しなかった場合に得られたAl2pピークのシフト量および半値幅をTable 1に示した。金属壁を設置しなかった場合のAl2pピークのシフト量は、100.3 eVであった。金属壁を設置した場合のAl2pピークのシフト量は、金属壁を設置しなかった場合に比べ著しく小さくなり、Al, Cu, Ag, Au材でそれぞれ、17.1, 10.2, 8.7, 8.4 eVであった。またAl2pピークの半値幅は、金属壁を設置しなかった場合が1.63 eVであったのに対し、金属壁を設置した場合は、Al, Cu, Ag, Au材でそれぞれ、1.22, 1.25, 1.23, 1.24 eVであった。

以上の結果は、金属壁の設置により、サファイア基板表面の帶電量が小さくなることを示している。しかし、壁材により帶電量に違いが認められた。このことから、

**Table 1** Shift and full width of Al2p at half maximum (FWHM) for sapphire specimen with metal walls. The angle ( $\theta$ ) between the metal wall and the sapphire surface is  $40^\circ$ . The distance ( $d$ ) between the two metal walls is 2 mm.

Wall material	Shift(eV)	FWHM(eV)
Al	17.1	1.22
Cu	10.2	1.25
Ag	8.7	1.23
Au	8.4	1.24
as-mounted	100.3	1.63

壁材によって中和に寄与する電子の発生量が異なることが予想される。

Fig. 3 は、金属壁として用いた Au 材から放出される電子のエネルギースペクトルを単色化 XPS で測定したものである。Fig. 3 からわかるように、Au 材から放出される電子は、非弾性散乱を繰り返してエネルギーを失った 20 eV 以下の低エネルギー電子が支配的となっている。このような低エネルギー電子は、正に帯電した試料との間に生じるクーロン力の作用を受け、試料に吸収されやすいことは容易に想像できる。したがって、金属壁から発生した電子のうち、試料の帶電中和に寄与する電子は、主に 20 eV 以下の低エネルギー電子と考えられる。そこで、金属壁として用いた Al, Cu, Ag, Au 材の単色化 XPS 測定から、20 eV 以下の電子の発生強度を計測した。計測結果を Fig. 4 に示した。計測結果は、Al 材から得られた強度を 1.0 として規格化した。Fig. 4 からわかるように、20 eV 以下の電子の発生強度は原子番号に依存しており、Au 材が最も大きく、Al 材の約 1.2 倍であった。

壁材からの 20 eV 以下の電子の発生強度と Al2p ピークのシフト量の関係を Fig. 5 に示した。Al2p のシフト量は、20 eV 以下の電子の発生強度が大きくなるに従い、小さくなる傾向を示した。これらの結果は、サファイア基板表面の帶電の中和効果が、金属壁からの低エネルギー電子の発生量に依存することを示すものである。

以上のことから、壁材として原子番号が大きい金属を用いた方が、単色化 X 線により低エネルギー電子が多く発生し、帶電中和に有利といえる。

### 3.2 設置方法による中和効果の違い

#### 3.2.1 設置角度の帶電中和に対する効果

金属壁の設置角度  $\theta$  と Al2p ピークのシフト量、半値幅の関係を Fig. 6 に示した (Au 材,  $d=2$  mm)。Al2p ピークの半値幅は、 $\theta$  に対して依存性は認められず、およそ 1.24 eV に推移した。しかし、シフト量は  $\theta=0^\circ$  では 15.1 eV,  $\theta=90^\circ$  では 9.9 eV となり、 $\theta=30\sim50^\circ$  の範囲で 8.4 eV の極小値をとった。したがって、サファイア

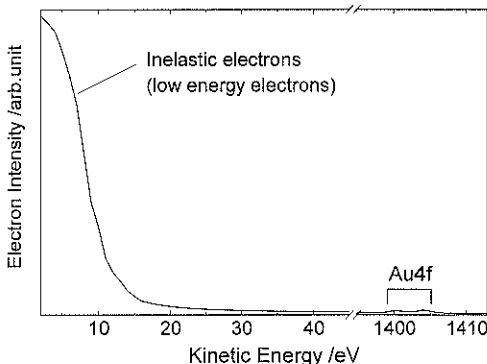


Fig. 3 XPS spectrum of Au wall material.

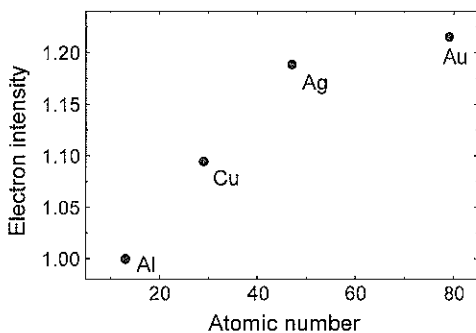


Fig. 4 Relationship between the intensity of electron whose energy is smaller than 20 eV and the atomic number of the wall material. The electron intensity was normalized by the value of Al metal.

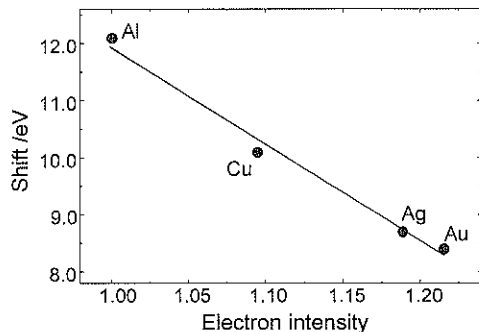


Fig. 5 Relationship between the shift of Al2p for the sapphire with metal walls and the intensity of electron whose energy is smaller than 20 eV.

基板表面の帶電量は、設置角度  $30\sim50^\circ$  で最も小さくなり、これより低角あるいは高角では大きくなることがわかる。このような傾向を示す理由は、設置角度によって金属壁から放出された電子と試料の帶電場との間に生じるクーロン力の作用が変化すること、金属壁に対する单

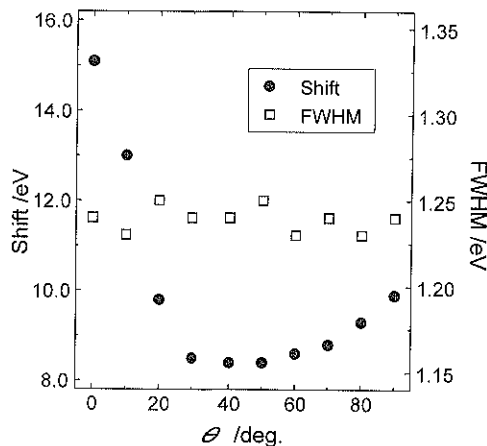


Fig. 6  $\theta$ -dependence of the shift and FWHM of Al2p for sapphire surface.  $\theta$  is the angle between the metal wall and sapphire surface. The distance ( $d$ ) between the two Au walls is 2 mm.

色化X線の入射角度が変化することの2つの効果によると推定される。

金属壁の設置角度  $\theta$  が  $0^\circ$  に近い場合、電子発生源である金属壁は試料面に対し平行に近くなることから、金属壁から発生した電子は、試料の帶電場の影響を受けにくい。このため設置角度  $\theta$  が  $0^\circ$  に近くなると、試料に吸収される電子の量が少くなり、試料の帶電量が大きくなる。一方、設置角度  $\theta$  が大きくなるに従って金属壁から発生した電子は、試料の帶電場の影響を受けやすくなり、試料に吸収されやすくなるが、 $\theta$  が  $90^\circ$  に近づくに従って、金属壁面と単色化X線のビーム軸のなす角が小さくなることから、金属壁に照射される単色化X線の光子数が減少する。このため設置角度  $\theta$  が  $90^\circ$  に近くなると、金属壁から発生する電子の量が減少し、試料の帶電量が大きくなる。

以上のことから、金属壁の設置角度を試料面に対し  $30\sim50^\circ$ とした場合が、最も効果的に試料へ電子を供給することが可能であり、帶電中和に有利といえる。

### 3.2.2 設置間隔の帶電中和に対する効果

金属壁(Au材,  $\theta=40^\circ$ )の設置間隔  $d$  と Al2p ピークのシフト量、半値幅の関係を Fig. 7 に示した。Al2p ピークのシフト量は、設置間隔  $d$  に従って大きくなる傾向を示した。また半値幅も同様の傾向を示した。以上の結果は、試料の帶電量が金属壁の設置間隔  $d$  に依存することを示している。設置間隔により試料の帶電量が変化するのは、金属壁に照射される単色化X線の強度が変化し、金属壁から放出される電子の量が変化することによると推定される。

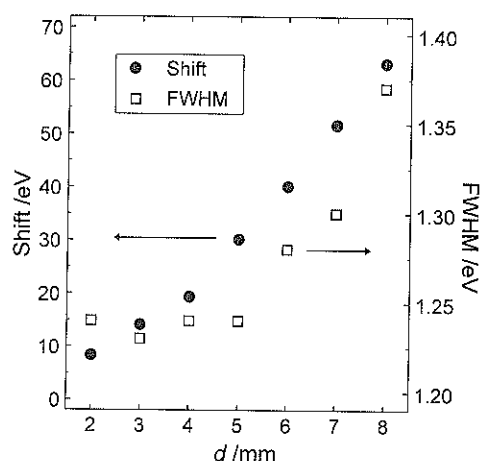


Fig. 7  $d$ -dependence of the shift and FWHM of Al2p for sapphire.  $d$  is the distance between the two metal walls. The angle of  $\theta$  between the metal wall and sapphire surface is  $40^\circ$ .

湾曲型分光結晶により集光されたX線の強度は、ほぼガウス分布をとり、焦点位置からの距離に依存して強度が小さくなる傾向がある<sup>9</sup>。したがって、金属壁の設置間隔が大きくなつた場合、金属壁にはX線ビームの裾の部分しか照射されなくなり、十分なX線強度が得られなくなる。この結果、金属壁から発生する電子の量は減少し、試料の帶電量が大きくなる。

以上のことから、金属壁の設置間隔を小さくすることにより、金属壁から電子が多く発生し、帶電中和に有利といえる。

### 3.3 不均一帶電の除去効果

表面が荒れた試料は、各点における光電子発生量に違いが生じ、帶電量にばらつきが生じる。このため表面が荒れた試料では、不均一帶電が生じやすい。特に単色化XPSの測定では、不均一帶電がより顕著となる<sup>11</sup>。そこで、砥粒により表面を荒らしたサファイア基板について同様の測定を行い、Al2p ピークのピーク形状および半値幅から、金属壁設置法の不均一帶電の除去効果について確認を行つた。なお、表面を荒らしたサファイア基板の平均粗さは、約  $2 \mu\text{m}$  であった。

金属壁(Au材,  $\theta=40^\circ$ ,  $d=2 \text{ mm}$ )を設置した場合、低速電子銃を用いた場合に、表面を荒らしたサファイア基板から得られた Al2p ピークを Fig. 8 に示した。低速電子銃は、鏡面研磨されたサファイア基板で帶電中和が達成される作動条件で使用した(作動条件: エミッショング电流  $22.0 \text{ mA}$ , 加速電圧  $2.0 \text{ V}$ )。Fig. 8 からわかるように、低速電子銃を用いた場合に得られた Al2p ピークは、低束縛エネルギー側に裾の広がり(broadening)が

生じ、非対称なピーク形状となった。つまり低速電子銃を用いた場合では、不均一帶電が除去されていない。一方、金属壁を設置した場合に得られた Al<sub>2</sub>p ピークは、低束縛エネルギー側の裾の広がりは小さく、ほぼガウス/ローレンツ対称関数で近似できるピーク形状であった。また、Al<sub>2</sub>p ピークの半値幅は、金属壁を設置した場合、低速電子銃を用いた場合でそれぞれ、1.58, 1.73 eV であり、金属壁を設置した場合の方が半値幅は小さくなつた。したがって、金属壁を設置した場合では、不均一帶電が除去されたことがわかる。

低速電子銃では、一方から電子シャワー照射となるため、荒れた表面に一様に電子が供給されない。このため、表面が荒れた試料の帶電を均一に補正することは困難となる。一方、金属壁を設置した場合では、電子発生源となる金属壁が試料を囲むように存在することから、あらゆる方向から電子が照射される。したがって、試料表面の荒れによらず、一様に電子が供給される。このため、表面が荒れた試料の帶電を均一に補正することが可能であると推定される。

以上のことから、金属壁設置による帶電中和は、表面が荒れた試料の不均一帶電の除去にも有効である。

## 4. 結 言

単色化 XPS の帶電中和法として、金属壁設置法を考案し、その有効性を確認した。壁材として原子番号が大きい金属、すなわち単色化 X 線により低エネルギー電子を多く発生する金属を用いること、放出された電子が効果的に試料の帶電場に供給されるよう金属壁の設置角度を試料面に対して 30~50° にすること、十分な単色化 X 線が照射されるよう 2 枚の金属壁の間隔を小さくすることで、サファイア基板表面から得られる Al<sub>2</sub>p ピークの帶電によるピークシフトを 10 eV 以下にすらが可能である。また、表面が荒れたサファイア基板から得られる Al<sub>2</sub>p ピークの裾の広がりを抑制することができ、不均一帶電の除去にも有効であることがわかった。

帶電によるピークシフトが 10 eV 以下と小さく、ピークの裾の広がりが抑制された光電子スペクトルは、ピークの帰属が容易であるだけではなく、C1s ピークを基準とする帶電シフト補正をより厳密に行うことができる。このため、試料本来の電子状態を反映した光電子スペクトルの解析が可能となる。

金属壁設置法は、基本的に条件制御を必要とせず、表面が荒れた試料にも対応できる。また任意の XPS 装置に適用可能である。したがって、簡便かつ適用範囲が広い帶電中和法である。

## 文 献

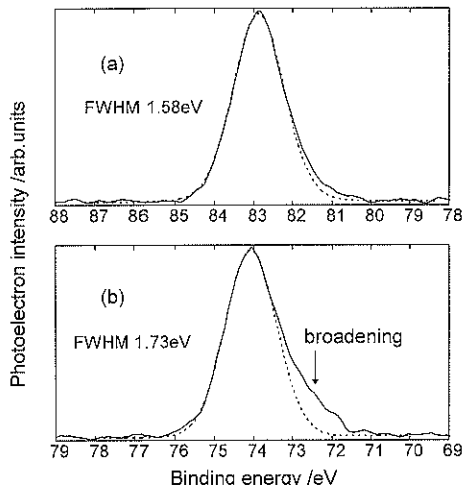


Fig. 8 XPS spectra of Al<sub>2</sub>p for roughened sapphire surface. The dashed line is a fitted curve of a Gaussian-Lorentzian shape. (a) Al<sub>2</sub>p spectrum for sapphire with Au metal walls. The angle of  $\theta$  between the metal wall and sapphire surface is 40°. The distance between the two metal walls is 2 mm. (b) Al<sub>2</sub>p spectrum obtained using flood gun (22.0 mA, 2.0 V).

- 1) D. Briggs and M.P. Seah: "Practical Surface Analysis by Auger and X-ray Photoelectron Spectroscopy (2nd ed.)" (John Wiley & Sons Ltd., New York, 1992) p. 56.
- 2) A. Cros: J. Electron Spectrosc. **59**, 1 (1992).
- 3) C.P. Hunt, C.T.H. Stoddart and M.P. Seah: Surf. Interface Anal. **3**, 157 (1981).
- 4) C.E. Bryson III: Surf. Sci. **189/190**, 50 (1987).
- 5) X.R. Yu and H. Hantsche: J. Electron Spectrosc. Relat. Phenom. **50**, 19 (1990).
- 6) 富塚 仁, 菖蒲明己: 表面科学 **15**, 456 (1994).
- 7) 尾山貴司, 西澤真士, 山本 宏: J. Surf. Anal. **3**, 558 (1997).
- 8) T.L. Barr: J. Vac. Sci. Technol. A **7**, 1677 (1989).
- 9) G. Beamson, D. Briggs, S.F. Davies, I.W. Fletcher, D.T. Clark, J. Howard, U. Gelius, B. Wannberg and P. Balzer: Surf. Interface Anal. **15**, 541 (1990).
- 10) J.F. Moulder, W.F. Stickle, P.E. Sobol and K.D. Bomben: "Handbook of X-ray Photoelectron Spectroscopy", ed. by J. Chastain and R.C. King Jr. (Perkin-Elmer, Physical Electronics Division, Minn, 1995) p. 213.
- 11) 大西孝治, 堀池靖浩, 吉原一紘: "固体表面分析 II", (講談社サイエンティフィック, 1995) p. 550.